

IV Congreso Nacional de Nanotecnología 2016 Olmué, Chile



Estimada comunidad científica

Les damos la bienvenida a la cuarta versión del Congreso Nacional de Nanotecnología que se llevará a cabo en el Hotel Rosa Agustina en la ciudad de Olmué. Agradecemos el interés por este evento, basado en los casi doscientos trabajos recibidos, todos ellos de alta calidad científica. Estamos convencidos de que este espacio será propicio para mostrar y discutir, desde variados puntos de vista debido a lo heterogéneo de su comunidad, los últimos avances en nanotecnología en Chile. De la misma forma, esperamos que este foro promueva la interacción de los científicos de las distintas áreas, física, química, biología y diversas ingenierías.

Les deseamos una grata estadía en la ciudad, que las presentaciones y discusiones científicas durante el congreso les sean muy fructíferas.

Atte comité organizador **IV CNN 2016**

Comité organizador

Marcelo Kogan – *Presidente* (UChile)
 Marcos Flores – *Vicepresidente* (UChile)
 Eyleen Araya (UNAB)
 Maria Luisa Valenzuela (UA)
 Felipe Oyarzun (UChile)
 Rodrigo Segura (UV)



UNIVERSIDAD DE CHILE



UNIVERSIDAD
ANDRÉS BELLO



UNIVERSIDAD AUTÓNOMA
DE CHILE



UNIVERSIDAD
DE
VALPARAISO
CHILE

Comité científico

Carlos Diaz – *Presidente* (UChile)
 Nicolas Yutronic – *Vicepresidente* (UChile)
 Paul Jara (UChile)
 Andrónico Neira (UChile)
 Victor Fuenzalida (UChile)
 Monica Soler (UChile)
 Edgar Mosquera (UChile)
 Humberto Palza (UChile)
 Guillermo González (UChile)
 Javier Morales (UChile)
 Patricio Vargas (USM)
 Michael Seeger (USM)
 Patricio Häberle (USM)
 Danilo González (UNAB)
 Luis Velásquez (UNAB)
 Jose Manuel Pérez (UNAB)
 Ramiro Arratia (UNAB)
 Ignacio Azocar (USACH)
 Juliano Denardin (USACH)
 Jerónimo Maze (PUC)
 Lorena Barrientos (PUC)
 Claudia Carrasco (UdeC)
 Sandra Fuentes (UCN)
 Judit Lisoni (UACH)

Auspiciadores

GRUPO BIOS

ADVANCED CENTER FOR CHRONIC DISEASES

CIENTEC

CONICYT

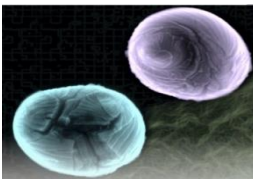
HES

DERTEC

MELVYN BECERRA

MERCK / MERCK MILLIPORE

SAX



IV Congreso Nacional de Nanotecnología 2016

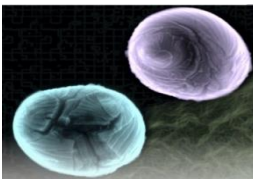
5-6-7 SEPTIEMBRE OLMUÉ - Rosa Agustina Conference Resort

Lunes 5 de septiembre

9:00 - 10:30	INSCRIPCIONES
10:30 - 11:00	CAFÉ
11:00 - 11:15	<i>Apertura</i> Marcelo Kogan
11:15 - 12:15	CNN301 Nano-patterns distributions for tissue engineering. Josep Samitier (IBEC, Barcelona, España)
12:15 - 12:45	CNN307 Ensamblaje molecular mediante interacciones aromáticas para la formación de materiales novedosos. Ignacio Moreno (U. Austral de Chile)
13:30 - 14:30	ALMUERZO
14:30 - 15:00	CNN308 Imogolite, a fascinating nanotube. Miguel Kiwi (UCHile)
15:00 - 15:20	CNN112 Efectos de Nanobarras de oro funcionalizadas-CLPFFD sobre la amiloidogénesis de A β y sobre las cascadas de señalización celular en neuronas de hipocampo. Ana Riveros (UCHile)
15:20 - 15:40	CNN179 Influencia de la morfología, tamaño y fase cristalina en el desempeño fotocatalítico de nanoestructuras de dióxido de titanio. Patricio Allende (UCHile)
15:40 - 16:10	CAFÉ
16:10 - 17:10	CNN302 Breaking the classical limit of optics by tip-enhanced nanospectroscopy. Nori Hayazawa (Riken Institute, Japan)
17:15 - 19:00	Sesión de posters I y trabajos de nanoarte
20:00 - 22:00	Cóctel de bienvenida y CENA

Martes 6 de septiembre

9:30 - 10:30	CNN303 Good or bad - Janus-faced nanomaterials!. Silke Krol (IRCCS Giovanni Paolo, Italia)
10:30 - 11:00	CNN309 Impacto de las nanopartículas poliméricas en la medicina personalizada. Cristian Vilos (U. Andrés Bello)
11:00 - 11:30	CAFÉ
11:30 - 12:00	CNN310 A popular antibacterial nanoparticle. Manuel Ignacio Azocar (U. de Santiago)
12:00 - 12:30	CNN311 Nanoestructuras de carbono en el mejoramiento de la respuesta de biosensores electroquímicos. Soledad Bollo (UCHile)
12:30 - 12:50	CNN126 Magnetic and transport properties of Co/Pd multilayers deposited in nanodomains. Juliano Denardin (USACH)



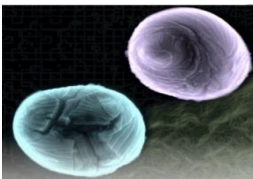
IV Congreso Nacional de Nanotecnología 2016

5-6-7 SEPTIEMBRE OLMUÉ - Rosa Agustina Conference Resort

12:50 - 13:10	CNN198 Amplificación de fluorescencia de rodamina B en estado sólido mediante asociación con β -ciclodextrina y nanopartículas de plata. Daniel Guerra (UChile)
13:10 - 13:30	<i>Foto oficial - sector piscina</i>
13:30 - 15:00	ALMUERZO
15:00 - 16:00	CNN304 Demostrando nuevos conceptos en hilos unimoleculares: diodos, electromecánica, FETs, magnetoresistencia, fotoconmutadores y reactividad química en una sola molécula. Ismael Díez-Pérez (U. de Barcelona, España)
16:00 - 16:20	CNN189 Análisis de variables determinantes en la producción de nanopartículas poliméricas de Eudragit RS, RL y policaprolactona por el método de nanoprecipitación. Miguel Jara (UChile)
16:20 - 16:40	CNN251 Frenado de iones livianos en nano-estructuras de carbono. Bernardo Fierro (USM)
16:40 - 17:10	CAFÉ
17:10 - 18:10	CNN305 Nanoestructuras funcionalizadas y sensibles a estímulos externos mediante auto-organización de polifosfacenos de bloques. Alejandro Presa (U. de Oviedo, España)
18:15 - 19:30	Sesión de posters II y trabajos de nanoarte
21:00 - 22:30	CENA
22:30	FIESTA

Miércoles 7 de septiembre

10:00 - 11:00	CNN306 Nanopartículas de oro en nanoteranosis. Roberto Cao (U. de la Habana, Cuba)
11:00 - 11:20	CNN248 Cambios morfológicos durante la muerte celular generada por la rotación de nanocilindros magnéticos. Graciela Bravo (PUC)
11:20 - 11:50	CAFÉ
11:50 - 12:10	CNN226 Desarrollo y funcionalización de un biosensor de alúmina porosa. Belén Céspedes (PUC)
12:10 - 12:30	CNN124 Crecimiento controlado de nanoestructuras 1D de TiO_2 y su efecto en la degradación fotocatalítica de colorantes textiles. Maibelin Rosales (UChile)
12:30 - 13:00	CNN312 Nanobiociencia aplicada al desarrollo de materiales avanzados. Carolina Parra (USM)
13:00 - 13:20	CNN218 Análisis morfológico y microestructural de electrodeósitos de Pb-Co. Claudia Carrasco (UdeC)
13:20 - 13:30	CLAUSURA COMITÉ ORGANIZADOR
13:30	ALMUERZO



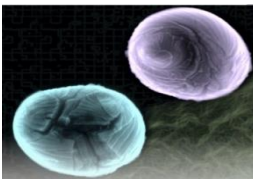
IV Congreso Nacional de Nanotecnología 2016

5-6-7 SEPTIEMBRE OLMUÉ - Rosa Agustina Conference Resort

Concurso de nanoarte

En esta versión del congreso se realizará una exposición y concurso de Nanoarte. Las obras presentadas están basadas en una o varias micrografías originales de los autores, las cuales han sido intervenidas y/o combinadas en fotomontaje para destacar objetos o estructuras en diferente cromaticidad, o resaltar la semejanza con objetos o paisajes macroscópicos. Esta actividad ha sido dirigida y coordinada por la Dra. Alejandra Tello Zamorano (UNAB).

	Título	Autores
CNN001	Espiral.	E.A. Hugo, F. Cornejo y R. Torres
CNN002	Aproximación.	S. Calderón
CNN003	Metamorfosis.	C. Angulo-Pineda
CNN004	Nanofloración.	C. Angulo-Pineda
CNN005	Plástico.	F. Montero-Silva, M. Moreno y M. Seeger
CNN006	Ramo de flores.	J.O. Morales
CNN007	Témpanos.	J.O. Morales
CNN008	Nanodiamantes en la época de las cavernas.	J. Lisoni y B. Lisoni
CNN009	Visiones energéticamente positivas.	S. Sepúlveda-Rivas
CNN010	En la búsqueda de un nuevo hogar.	S. Palma, P. Lara y A. Vivanco
CNN011	Nacimiento florido.	S. Palma, P. Lara y A. Vivanco
CNN012	Nanopatos en la noche.	N. Benito y C. Palacios
CNN013	Percepción aumentada.	M.O. Jara y J.O. Morales
CNN014	Danzando el universo.	M.A. Cortés
CNN015	Sendero.	M.A. Cortés
CNN016	Nanopollo.	I. Moglia y R. Espinoza
CNN017	Semillas del pasado.	C. Vilos, J. Salazar, G. León, D. Aguayo y H. Mendoza
CNN018	Micropartícula ninja de quitosano.	P. Aguirre y A. Neira
CNN019	Battle of calcium oxalate dragon crystals.	A. Vargas y A. Neira

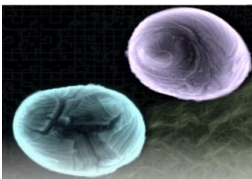


IV Congreso Nacional de Nanotecnología 2016

5-6-7 SEPTIEMBRE OLMUÉ · Rosa Agustina Conference Resort

Sesión de Posters I: Lunes 05 septiembre.

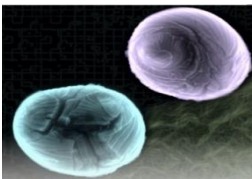
	Título	Autores
CNN101	Effect of phonons on the optical properties of silicon-vacancy centres in nanodiamonds.	<u>A. Norambuena</u> , S. Reyes, J. Mejía-López, A. Gali y J. Maze
CNN102	Celulosa nanofibrilada (CNF) de bambú Chusquea quila: desde biomasa hacia producto de nanotecnología.	<u>P. Oliveira</u> , X. Petit-Breuilh, G. Cunha, O. Rojas y W. Gacitúa
CNN103	Simulación de la liberación gastrointestinal de nanopartículas cargadas con extractos de uva.	<u>K. Fernández</u> , C. Hermosilla, M. Roeckel y E. Aspé
CNN104	Formulation of PLGA nanoparticles loaded with grape extracts.	<u>K. Fernández</u> , D. Stuckrath, E. Aspé y M. Roeckel
CNN105	Efecto de cinética de largo plazo en fenómenos de sorción aplicando nanocompuestos del tipo Zeolita:nZVI.	<u>D. Muñoz</u> , P. Sepúlveda, N. Arancibia-Miranda y M.A. Rubio
CNN106	Obtención de nanopartículas de oro para la liberación controlada de curcumina por efecto fototérmico.	<u>C. Sepulveda</u> y M. Kogan
CNN107	Estudio del transporte de partículas poliméricas biodegradables cargadas con extractos de uva a través de monocapas celulares de células Caco-2.	<u>M. Parada</u> , M. González y K. Fernández
CNN108	Síntesis de nanopartículas bimetálicas Fe-Cu: Efecto del porcentaje de Cu en la remoción de As presente en matrices acuosas.	<u>P. Sepúlveda</u> , D. Muñoz Lira, M.A. Rubio y N. Arancibia-Miranda
CNN109	Green synthesis of metallic nanoparticles from leaf extract of endemic chilean plants.	<u>G. Recio</u> , E. Carmona, C. Lagos, N. Benito, A. Garcia y R. Marcos
CNN110	Fluorescencia amplificada por plasmón de aflatoxina M1 usando nanopartículas de plata funcionalizadas.	A. Guerrero, C. Foerster, C. Ferreccio y M.J. Kogan
CNN111	Caracterización de nanopartículas de oro conjugadas con poli(etilenglicol) y polímeros para ser administradas a través de la ruta intranasal.	<u>E. Gallardo</u> , A. Sintov y M.J. Kogan
CNN113	Remoción de metales pesados a través de nano-hidroxiapatita sintetizada a partir de residuos con alto contenido de carbonato en calcio.	<u>D. Núñez</u> , E. Elgueta, A. Mancisidor y B. Rivas
CNN114	Interacciones droga anticancerígena-nanotubo de carbono por métodos de dinámica molecular y algoritmos de automatización mejorados.	<u>L. Contreras</u> , C. Torres y R. Rozas
CNN115	Desarrollo y caracterización de un aptasensor basado en nanopartículas de oro para detección de Mycobacterium bovis.	<u>B. Contreras</u> , E. Guzmán-Gutiérrez, J. Aguilar, A. Maldonado, R. Garcés y P. Oyarzún
CNN116	Desarrollo y caracterización de un aptasensor basado en nanopartículas de oro para detección del antibiótico ampicilina.	<u>P. Oyarzún</u> , B. Contreras, E. Guzmán-Gutiérrez, J. Aguilar y R. Garcés



IV Congreso Nacional de Nanotecnología 2016

5-6-7 SEPTIEMBRE OLMUÉ - Rosa Agustina Conference Resort

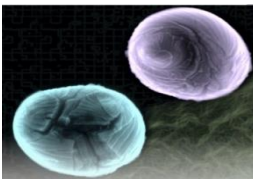
CNN117	Detección indirecta de ADN en interacción con nanopartículas de plata por medio de espectroscopia Raman a través de plasmones localizados.	<u>R. Báez</u> , M. Vargas, M. Meléndrez y C. Vargas
CNN118	Síntesis de nanopartículas de Iridio tipo (Quitosa) • (IrCl ₃) y (PSP-co-4-PVP) • (IrCl ₃) y su incorporación en SiO ₂ usando un método en estado sólido.	<u>O. Cifuentes</u> , C. Díaz y M.A. Laguna
CNN119	Nanopartículas de oro funcionalizadas con aducto de Diels-Alder para la liberación controlada espacial y temporal de péptidos antitumorales.	<u>C. Vetterlein</u> , R. Vásquez, A. Riveros, M.J. Kogan y E. Araya-Fuentes
CNN120	Desarrollo de nanovesículas con nanobarras de oro para la liberación controlada de péptidos activos.	<u>J. Bejarano</u> , S. Lavandero y M. Kogan
CNN121	Nanovarillas de oro multifuncionalizadas para disminuir la toxicidad del péptido Aβ in vivo en un modelo de la enfermedad en C. elegans 2120.	<u>F. Morales</u> , H. Arriagada, N. Hassan, A. Riveros, A. Minniti, C. Velasco, R. Aldunate y M.J. Kogan
CNN122	Microfluídica para la formación de nanoestructuras magneto-plasmónicas con aplicación en el tratamiento contra el Alzheimer.	<u>N. Hassan</u> , R. Sierpe, A. Riveros, M.L. Cordero y M. Kogan
CNN123	Síntesis de nanoesponjas de β-ciclodextrina como posible sistema transportador de fármacos.	<u>I. Asela</u> , R. Sierpe y N. Yutronic
CNN125	Obtención de nanoestructuras metálicas en estado sólido usando precursores macromoleculares 4-PVP•MCl _n .	<u>M. de los Ángeles Cortes</u> , C. Díaz y M.L. Valenzuela
CNN127	Nanoprismas de oro funcionalizados con el péptido angiopep-2.	<u>A. Tapia</u> , C.A. Ortiz, E. Gallardo-Toledo, R. Sierpe y M.J. Kogan
CNN128	Preparación de mallas de policaprolactona (PCL) obtenidas mediante electrospinning para cultivos 3D de células A2780.	<u>M. Garrido</u> , C. Romero, N. Butto y A. Neira-Carrillo
CNN129	Membranas híbridas poliméricas compuestas por nanofibras electro-hiladas. Mejoramiento mecánico de una malla de uso clínico.	<u>A. Neira</u> , V. Barros, N. Butto, F. Oyarzún-Ampuero y I. Moreno-Villoslada
CNN130	Membranas poliméricas de nano-fibras alineadas mediante electrospinning.	<u>A. Neira</u> , F. Ramírez y N. Butto
CNN131	Síntesis y Caracterización de nanoClavos de ZnO mediante CVD-Plasma asistido por microondas.	<u>M.F. Meléndrez</u> , A. Jaramillo, V. Torres, D. Rojas, F. Solis-Pomar y E. Pérez -Tijerina
CNN132	Antifungal Activity of Copper Nanostructures against Candida Albican.	<u>M.F. Meléndrez</u> , A. Martínez, M. Domínguez, G. Sánchez-Sanhueza, A. Catalán y V. Torres
CNN133	Evaluación del efecto promotor de nanosistemas en la vehiculización de ciclosporina A administrada a través de la piel.	<u>M.J. Álvarez</u> , J.M. Abarca-Riquelme y J.V. González-Aramundiz
CNN134	Síntesis de Nanoestructuras de TiO ₂ con Morfología y Estructura Cristalina Controlada.	<u>Y. Quintero</u> , B. Rodríguez, A. García y E. Mosquera



IV Congreso Nacional de Nanotecnología 2016

5-6-7 SEPTIEMBRE OLMUÉ - Rosa Agustina Conference Resort

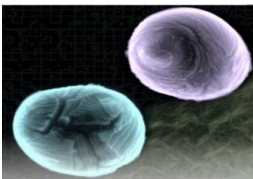
CNN135	Películas de BaTiO ₃ sobre titanio por vía pseudo hidrotermal-eutéctico.	<u>V. Fuenzalida</u> y D. Gaete-Saldívar
CNN136	Propiedades microestructurales de la madera de pino radiata y su influencia en las fuerzas de cortes.	<u>L. Cancino</u> , J.G. Lisoni, A. Roller y A. Aguilera
CNN137	Estudio de las propiedades termomecánicas de un nanocompuestos sintetizado a partir de nanopartículas de cobre con Ecoflex.	<u>A. Salgado</u> , S.A. Riquelme, A. Maldonado, A.F. Jaramillo y M.F. Melendrez
CNN138	Síntesis y actividad fotocatalítica de nanoalambres de óxido de zinc obtenidos a través de descomposición térmica asistida por microondas.	<u>A. Jaramillo</u> , F. Solis-Pomar, C. Medina, D. Rojas, A.C. Mera, E. Pérez-Tijerina y M.F. Meléndrez
CNN139	Síntesis y empleo de silicatos de calcio nano-estructurados magnetizados para la remoción de iones metálicos desde soluciones acuosas ácidas de mina.	<u>A. Briso</u> , K. Barrera, V. Ide, F. Valenzuela
CNN140	Stress Transfer and Physical Properties of Gelatin-Nanofibrillated Cellulose Composites.	<u>F. Quero</u> , A.E. Lewandowska, L. Caballero, F. Melo, S.J. Eichhorn, and J. Enrione
CNN141	ARXPS study of the Cu/SiO ₂ interface formation	<u>N. Benito</u> y M. Flores
CNN142	Evaluación de nanovarillas de oro conjugadas con siRNA (AuNPs-CLPFFD/siRNA) como posible terapia para la asfixia perinatal.	<u>V. Vio</u> , A. Riveros, M. Herrera-Marschitz y M.J. Kogan
CNN143	Crecimiento de nanohojuelas policristalinas de carbono para aplicaciones en emisión de campo.	<u>F. Guzmán</u> , R. Espinoza-González, V. Fuenzalida y G. Morell
CNN144	Inmovilización covalente de polifenoles sobre nanopartículas de sílice: Nanoantioxidante para una formulación farmacéutica.	<u>F. Arriagada</u> y J. Morales
CNN145	Propiedades fototérmicas de nanovarillas de oro recubiertas con quitosano tiolado, alginato y PVA.	<u>J. Juárez</u> , M. Almada, M.J. Kogan, N. Hassan y M. Valdez
CNN146	Producción de ferritina modificada genéticamente para nano-targeting.	<u>M. Santiago</u> y A. Olivera-Nappa
CNN147	Síntesis coloidal acuosa de nanoestructuras Core/Shell de tipo CdTe/CdSe y CdSe/CdTe.	<u>V. Solano</u> , P. Meneses y R.F. Cuevas
CNN148	Propiedades ópticas y electroquímicas de nanocristales de CdSe estabilizados con TGA.	<u>V. Solano</u> , L.A. Pradela-Filho, W.T. da Fonseca, R.M. Takeuchi, A.L. dos Santos y R.F. Cuevas
CNN149	Síntesis de nanopartículas plasmónicas en la cavidad de la proteína ferritina.	<u>I. Moglia</u> , M. Soler J., Á. Olivera-Nappa y M. Santiago
CNN150	Propiedades fotocatalíticas de nanocompositos laminares de ZnO/MoS ₂ .	<u>F. Duran</u> , E. Benavente y G. González



IV Congreso Nacional de Nanotecnología 2016

5-6-7 SEPTIEMBRE OLMUÉ · Rosa Agustina Conference Resort

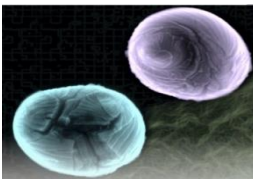
CNN151	Galleria mellonella: un modelo in vivo para el estudio del efecto de nanomateriales sobre microorganismos patógenos.	<u>P. Caravantes</u> , J. Campo, A. Tello, N. Órdenes-Aenishanslins y J.M. Pérez-Donoso
CNN152	Síntesis "in situ" de nanopartículas de plata soportadas sobre óxido de grafeno para aplicaciones antimicrobianas.	<u>C. Angulo</u> , P. Palma, J. Bejarano, A. Riveros, M.J. Kogan y H. Palza
CNN153	Nanofibras en base al uso de nanotubos de titanio como scaffolds para la mantención y diferenciación neural electroestimulada de células PC12, útiles en ingeniería de tejido nervioso periférico.	<u>Y. Olguin</u> , J. Catalán, C. Soto y D. Oyarsun
CNN154	Efecto electroadsorptivo en películas de SnO ₂ .	<u>A. Ibañez</u> , T. Doll y V.M. Fuenzalida
CNN155	Optimización de formulaciones de nanocápsulas para la entrega de biomacromoléculas.	<u>V. de Armas</u> , V. Miranda y J.O. Morales
CNN156	Diseño y desarrollo de nuevas nanoemulsiones: una aproximación a la administración de vacunas libres de agujas.	<u>J.V. González</u> , J.I. Bussio y C. Molina
CNN157	Síntesis de espaciadores con aductos de Diels-Alder para liberación de principios activos mediante efecto fototérmico.	<u>C. Muñoz</u> , R. Vásquez, M. Goñi, K. Urrutia y E. Araya Fuente
CNN158	Síntesis de los péptidos Raf y bombesina para la funcionalización de nanopartículas de oro.	<u>R. Vasquez</u> , K. Rodríguez, C. Fernández y E. Araya - Fuentes
CNN159	Obtención de nanopartículas magnetoplasmónicas a partir de alginato de sodio del alga parda Desmarestia menziesii.	<u>F. Cornejo</u> , R. Torres y M.J. Kogan
CNN160	Extracción de molibdeno (VI) mediante nanopartículas de magnetita funcionalizadas con grupos amino sustituidos.	<u>J. Gaete</u> , C. Basualto, L. Molina y M. Araya
CNN161	Electrocatalisis sobre electrodos ensamblados molecularmente con ordenamiento nanoestructurado.	<u>M. Santander</u> , C. P. Silva, J. Pavez y J.H. Zagal
CNN162	Nanocompositos basados en estructuras nanotubulares de TiO ₂ con complejos de Re(I): síntesis y caracterización morfológica.	<u>C. Zúñiga</u> , D. Oyarzún, M. Fuentealba y R. Arratia-Pérez
CNN163	Sistema electródico molecularmente ensamblado en base a Grafeno oxidado químicamente reducido; Au/4-MBT/OR-GO.	<u>J. Espinoza</u> , M. López, J. Pavez, J. Zagal y C.P. Silva
CNN164	Desarrollo de materiales biodegradables reforzados con nanofibras electroestiradas.	<u>L. Garrido</u> , M.J. Galotto, A. Guarda y C. López de Dicastillo
CNN165	Nanoestructuras anódicas de óxidos de cobre. Síntesis, caracterización y estudio de sus propiedades.	<u>D. Oyarzún</u> , O. Linarez, M. López, A. Asenjo, G. Del C. Pizarro, C. Zuñiga y R. Arratia-Perez
CNN167	Desarrollo de materiales con actividad antifúngica mediante la técnica de extrusión para aplicación en fruta fresca.	<u>R. Abarca</u> , M.J. Galotto, A. Guarda, J. Bruna y F. Rodríguez



IV Congreso Nacional de Nanotecnología 2016

5-6-7 SEPTIEMBRE OLMUÉ - Rosa Agustina Conference Resort

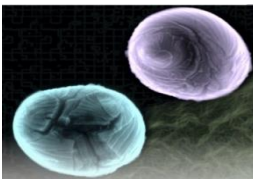
CNN168	Nanocrisales de celulosa obtenidos desde pulpa kraft blanqueada de Eucalyptus globulus.	<u>G. Aguayo</u> , W. Gacitúa, A. Fernández, R. González y O. Uyarte
CNN169	Synthesis, characterization and photocatalytic activities of ZnO/CuO nanocomposites.	<u>A. Lavín</u> , M. Morel, F. Gracia y E. Mosquera
CNN170	Desarrollo y caracterización de exosomas con inclusión del fármaco lipófilo curcumina para mejorar su estabilidad y potencial terapéutico.	<u>P. Lara</u> , S. Palma, S. Guerrero, A. Campos, L. Lobos-González, A.F.G. Quest y M.J. Kogan
CNN171	Aislamiento de exosomas-nanopartículas de oro funcionalizadas obtenidos a partir de líneas celulares metastásicas.	<u>S. Palma</u> , P. Lara, S. Guerrero, A. Campos, Lorena Lobos-González, A. Quest y M.J. Kogan
CNN172	Desarrollo de compósitos de ácido poliláctico y derivados del grafito para aplicaciones biomédicas.	<u>P. Arriagada</u> y H. Palza
CNN173	Study of parameters involved in the synthesis of metal nanoparticles to improve stability.	<u>H. Lozano</u> , C.J. Ulloa, E. Valencia, E. Benavente y G. González
CNN174	Quantum dots: fácil método de síntesis y estabilización en medio acuoso.	<u>M. Méndez</u> , D. Radić y A. Leiva
CNN175	Cellulose and nanocellulose dissolution and synthesis via Ionic liquids.	<u>G. Reyes</u> , N. Flores, M. Soto, V. Vargas, S. Cardenas, J. Romero y A. Matus
CNN177	Transferencia de Energía por Resonancia de Fluorescencia (FRET) entre Quantum Dots de CdTe-Azul Nilo	<u>R. Valenzuela</u> , M. Ramírez Maureira y V. Vargas Cortés
CNN178	Encapsulación de compuestos bioactivos.	<u>C. Ramírez</u> , V. del Campo, A. Jaques, L. Borzone, R. Simpson y P. Häberle
CNN180	Microesferas de tamaño controlado de hidrogeles supramoleculares de Polietilenglicol/ α -ciclodextrina en compósitos con óxido de grafito.	<u>F. Olate</u> , H. Palza, F. Pizarro y M.L. Cordero
CNN181	Modificación de un electrodo de diamante con α -Hematita para su uso como fotocatalizador de la oxidación de especies orgánicas.	<u>R. Del Rio</u> , C. Araneda y S. Hevia
CNN182	Extracción de molibdeno (VI) y arsénico (V) en solución acuosa mediante nanopartículas de magnetita funcionalizadas con los extractantes comerciales Aliquat 336 y Alamine 336.	<u>M. Araya</u> , C. Basualto, L. Molina y J. Gaete
CNN183	Synthesis and characterization of Graphene/ Polythiophene nanocompo-sites as super-capacitor materials.	<u>M.B. Camarada</u> , F. Ibañez y J.P. Melo
CNN184	Síntesis de micro y nano partículas de cobre.	<u>C. Silva</u> , E. Salas-Huenuleo, R. Torres, J. Campanini, J. Andrades, D. Vásquez y M.J. Kogan



IV Congreso Nacional de Nanotecnología 2016

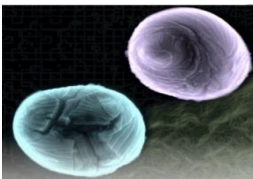
5-6-7 SEPTIEMBRE OLMUÉ · Rosa Agustina Conference Resort

CNN185	Estudio sistemático de la conjugación y funcionalización de nanopartículas de oro con moléculas para el direccionamiento celular.	<u>E. Salas</u> , M. Almada, J. Juárez, M. Valdez, C. Romero y M.J. Kogan
CNN186	Análisis HR-TEM de óxidos y oxiclорuros lantánidos nanoestructurados obtenidos a partir de precursores Ln-polímero en estado sólido.	<u>D. Carrillo</u> , C. Díaz Valenzuela y A. Presa Soto
CNN187	Síntesis rápida y estabilización de nanoestrellas de oro.	<u>O. Donoso</u> , R. Sierpe y N. Yutronic
CNN188	Incorporación de loperamida en nanopartículas monodispersas de policaprolactona por el método de nanoprecipitación.	<u>M.O. Jara</u> , J. Catalán-Figueroa y J.O. Morales
CNN190	Metallic copper nanocubes synthesized by hydrothermal method.	<u>C. Ulloa</u> , H. Lozano-Zarto, M.J. Kogan y G. González,
CNN191	Síntesis y caracterización de nanopartículas Fe ₃ O ₄ /Au tipo <i>core shell</i> , inmovilizadas sobre cristales de compuestos de inclusión de β-Ciclodextrina.	<u>S. Salazar</u> y P. Jara
CNN192	Modificación de las propiedades ópticas de películas de TiO ₂ por dopaje con carbono	<u>J. Vera</u> , S. Hevia Zamora y R. Segura del Río
CNN193	Nuevos módulos de nanoeducación química: una estrategia didáctica para la enseñanza-aprendizaje de nanotecnología en estudiantes universitarios.	<u>L. Barrientos</u> , F. Aros, S. Stancovich y M. Laguna
CNN194	Eficiencia de encapsulación y estabilidad de nanotransportadores cargados con loperamida.	<u>J. Catalán</u> , M. O. Jara, M.E. Flores, J. L. Fiedler, I. Moreno-Villoslada y J.O. Morales
CNN241	Transporte eléctrico y adsorción de tioles en películas ultra delgadas de oro.	<u>R. Henriquez</u> , V. Del Campo, C. González-Fuentes, J. Correa-Puerta, S. Bravo, L. Moraga, M. Flores, S. Donoso, F. Marín, R. Segura y P. Häberle



Sesión de Posters II : martes 06 septiembre.

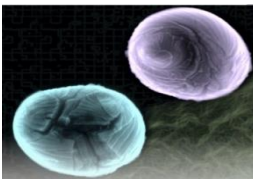
	Título	Autores
CNN195	Estudio preliminar de electrodeposición de ZnO con potenciales aplicaciones en la degradación de colorantes.	<u>J. Castillo</u> , R. del Rio y S. Hevia
CNN196	Efecto de diferentes proporciones de agentes formadores de matriz lipídica sobre las características de cesión de fármaco desde SLN.	<u>C. Boisset</u> , A. Cunalata, M. Flores, J. Moreno, E. Costa, K. Valdes y M.N. Ga
CNN197	Dendritic nanoparticles used as vehicles to transport of inhibitors of human lipoxygenases. Theoretical and experimental studies.	<u>C. Sandoval</u> , C. Mascayano, A. Vergara-Jaque, J. Comer y L. Silva-Santos
CNN199	Nanopartículas de plata estabilizadas con moléculas que poseen grupos carboxilatos: efecto de la estabilización en la generación de las especies reactivas de oxígeno (ROS) y actividad antibacteriana.	<u>R. Alarcón</u> , M. Azócar, L. Tamayo, A. Castillo y M. Paez
CNN200	Propiedades luminiscentes del óxido de torio, ThO ₂ , nanoestructurado por un método en estado sólido.	<u>K. Mendoza</u> , C. Díaz y M.L. Valenzuela
CNN201	Síntesis y caracterización de nanopartículas de magnetita funcionalizadas con extractantes organofosforados y su aplicación en la adsorción de iones lantánidos livianos.	<u>L. Molina</u> , C. Basualto, F. Valenzuela, J. Gaete y M. Araya
CNN202	Liberación de antitumoral mediante el efecto de resonancia de plasmón superficial sobre nanopartículas de oro estabilizadas con β-ciclodextrina/dacarbazina.	<u>S. Quintana</u> , R. Sierpe, M.J. Kogan y N. Yutronic
CNN203	Incorporación de TiO ₂ nanoestructurado, en diversas fases, en SiO ₂ por un método en estado sólido.	<u>N. Salazar</u> , C. Diaz, P. Allende y O. Cifuentes
CNN204	Nanocompositos híbridos de ZnO/CdS. Ensayos de producción fotocatalítica de H ₂ y degradación de contaminantes.	<u>D. Solar</u> , E. Benavente y G. González
CNN205	Estudio de nanopartículas de CaTiO ₃ dopadas con Al para la remoción de As.	<u>R. Tamayo</u> , R. Espinoza-González, F. Gracia, J. Aguila, B. Montoya y F. Silva
CNN206	Seguimiento temprano de células metastásicas marcadas con nanopartículas de oro. Una herramienta de estudio de metástasis.	<u>S. Guerrero</u> , V. Díaz, P. Lara, F. Guzman, X. Rojas Silva, M. Kogan y A.F.G. Quest
CNN207	Construcción y caracterización de sistemas híbridos basados en nanotubos de carbono con aplicaciones en electrocatálisis y electroanálisis.	<u>M.P. Oyarzún</u> , N. Silva, J. F. Silva, J. Zagal y M. Flores
CNN208	Actividad de Nanopartículas y Nanobarras de oro ancladas en monocapas autoensambladas.	<u>J. Silva</u> , S. Ramírez, M. Paz Oyarzún, N. Silva y J Pavéz



IV Congreso Nacional de Nanotecnología 2016

5-6-7 SEPTIEMBRE OLMUÉ · Rosa Agustina Conference Resort

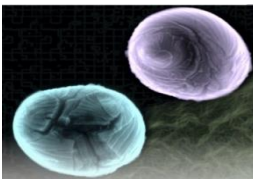
CNN210	Efecto de la polarización aplicada a un sustrato en el depósito de cerámica tipo perovskita por pulverización catódica.	<u>S. Vidal</u> , R. Espinoza González y F. Guzman
CNN211	Materiales fibrosos anfifílicos obtenidos a través de electrospinning.	<u>M. Flores</u> , J. Castro, I. Moreno-Villoslada, T. Shibue y H. Nishide
CNN212	Nanopartículas de plata soportadas sobre monocapas ensambladas de β -ciclodextrina.	<u>B. Herrera</u> , T. Bruna, P. Jara y N. Yutronic
CNN213	Control de la estequiometría en películas delgadas nanoestructuradas de óxidos de titanio producidas mediante pulverización catódica reactiva.	<u>R. Villarreal</u> , R. Espinoza González y G. González
CNN214	Mallas híbridas electrohiladas con morfología <i>core-shell</i> base de Policaprolactona y Polianilina: potencial uso en terapia antineoplásica multimodal.	<u>D. Yáñez</u> , N. Butto, M. Garrido, D. Acevedo, I. Yslas y A. Neira-Carrillo
CNN215	Application of hybrid biomaterials based on calcium carbonate and polyaniline nanoparticles in photothermic therapy.	<u>A. Neira</u> , E. Yslas, Y. Amar-Marini, P. Vásquez-Quitral, M. Sánchez, A. Riveros, D. Yáñez, P. Cavallo, M.J. Kogan y D. Acevedo
CNN216	Síntesis y caracterización de nano estructuras de SnO_2 incorporadas en SiO_2 , por un método en estado sólido.	<u>K. Correa</u> y C. Díaz
CNN217	Estudio del transporte electrónico en nanotubos de carbono no cristalinos.	<u>A. Adrian</u> , R. Segura y S. A. Hevia
CNN219	Estudio fotocatalítico de nanoestructuras Cu_2O , ZnO y Composito $\text{Cu}_2\text{O}/\text{ZnO}$.	<u>M. Segovia</u> , E. Benavente y G. González
CNN220	Sensores potenciométricos de pH libres de calibración basados en nanopartículas de bronces de tungsteno (Na_xWO_3).	<u>R. Cisternas</u> y M.L. Valenzuela
CNN221	Mutagenic and toxic evaluation of metal oxide nanoparticles in drosophila.	<u>E. Carmona</u>
CNN222	Modificación del espacio interlamilar de la bentonita mediante reacciones de injerto con 3-aminopropiltriétoxisilano.	<u>C. Salgado</u> , G. González y E. Benavente
CNN223	Nanopartículas poliméricas multifuncionales de EE-Alg para la entrega de fármacos biológicos con alta eficiencia de asociación y biocompatibilidad.	<u>S. Sepúlveda</u> , R. Reyes-Ramírez, F. Marchant, C. Otero y J.O. Morales
CNN224	Interacción de agregados del péptido β -Amiloide(1-42) con nanoesferas de oro funcionalizadas con el péptido CLPFFD. Estudio Raman, SERS y teórico.	<u>A. Vera</u> , J.J. Cárcamo, E. Clavijo, J.S. Gómez-Jeria, M.J. Kogan y M.M. Campos-Vallette
CNN225	Desarrollo de dispositivos basados en nanotubos de carbono no cristalinos para la detección de gases.	<u>H. Briceño</u> , Á. Adrian, R. Segura y S. A. Hevia
CNN227	Estudio de depósitos metálicos ultradelgados en películas de hematita y su desempeño en fotoelectrólisis del agua.	<u>P. Álvarez</u> , L. Fernández, B. Duran, R. Del Rio y S.A. Hevia



IV Congreso Nacional de Nanotecnología 2016

5-6-7 SEPTIEMBRE OLMUÉ - Rosa Agustina Conference Resort

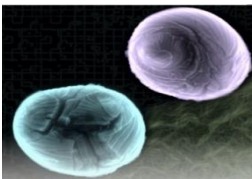
CNN228	Desarrollo de un nuevo método sensible para la detección del gen Reprimo usando SHINEF y quantum dots.	<u>M.J. Marchant</u> , A.R. Guerrero, E. Navarrete, L. Guzmán, A. H. Corvalán y M.J. Kogan
CNN229	Resistencia de películas de cobre recubiertas por tioles aromáticos.	<u>B. Zuñiga</u> y M. Flores
CNN230	Síntesis biomimética y caracterización de nanopartículas de óxido de cinc para aplicaciones en nanomedicina.	<u>A. Tello</u> , P. Caravantes, D. Oyarzun, A. Riquelme, J. Campo y J.M. Pérez-Donoso
CNN231	Estudio de la actividad electrocatalítica de nanopartículas magnéticas sintetizadas a partir de ftalocianinas de hierro.	<u>N. Silva</u> , S. Calderón, M.P. Oyarzún, C. Zuñiga, E. Salas-Huenuleo, E. Vargas, J.C. Denardin y J. Zagal
CNN232	Arsenic removal from groundwater by using graphene oxide.	<u>L. Matamala</u> , G. M. Morales y Á. Videla
CNN233	Estudio de la influencia del dopaje y la temperatura de síntesis en la conductividad eléctrica de nanotubos de carbono no cristalinos.	<u>L. Fernández</u> , B. Duran, H. Briceño, A. Adrián, R. Espinoza-González, R. del Río y S. A. Hevia
CNN234	Modelamiento del comportamiento viscoelástico de materiales porosos basados en biopolímeros aniónicos.	<u>M. Utreras</u> , J. G. Lisoni, Th. Hoffmann y I. Moreno-Villoslada
CNN235	Crecimiento a gran escala de grafeno sin defectos.	<u>V. del Campo</u> , C. Parra y P. Häberle
CNN236	Reducción de oxígeno en superficies funcionalizadas con aril-diazonios y metaloftalocianinas.	<u>C. Silva</u> , C. Olguin, J. Espinoza, J. F. Silva y J. Pavez
CNN237	Surface roughness of biocompatible wrinkles patterns – an atomic force microscopy study.	<u>D. Sagredo</u> , P.J. Alfaro-Cerda, C.M. González-Henríquez, M.A. Sarabia-Vallejos and J. Rodríguez-Hernandez
CNN238	Optimización en el desarrollo de nanopartículas poliméricas para el tratamiento de la artrosis.	<u>F. Ferreira</u> , C. Gómez, C. Chávez, P. Bustos, S. Mennickent y P. Novoa
CNN239	Evaluación de una novedosa herramienta para estudios de metástasis temprana basada en quantum dots de CdTe-GSH y células de melanoma murino B16F10.	<u>Díaz V., Guerrero S., Kogan M., Oest A.F.G. y Pérez-Donoso J.M.</u>
CNN240	Preparación de nanoesferas bicontinuas y micelas toroidales mediante la auto-organización de copolifosfacenos híbridos con un bloque inorgánico cristalino.	<u>R. de la Campa</u> , D. Presa-Soto, G. A. Carriedo y A. Presa Soto
CNN242	Caracterización electroquímica de recubrimientos con espesores nanométricos de carbón tipo diamante.	<u>B. Durán</u> , A. Rosenkranz, M. Ruiz, M. Favre, R. del Río y S. A. Hevia



IV Congreso Nacional de Nanotecnología 2016

5-6-7 SEPTIEMBRE OLMUÉ · Rosa Agustina Conference Resort

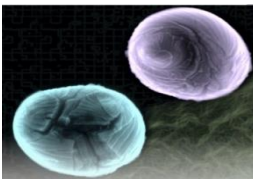
CNN243	Desarrollo de diodos orgánicos emisores de luz (OLEDs) en estructura tándem.	<u>F. Angel</u> , J. U. Wallace y C. W. Tang
CNN244	Nanocompositos basados en nanoestructuras anódicas y sistemas poliméricos. Síntesis, caracterización y potenciales aplicaciones.	<u>A. Asenjo</u> , A. Tello, J. Pérez-Donoso, G. Pizarro, C. Zúñiga, R. Martín, R. Arratia-Perez y D. Oyarzún
CNN245	Síntesis de grafeno a través del sistema de deposición química de vapor.	<u>C. Sáez</u> , C. Álvarez, A. Cortes, C. Celedón y R. Zarate
CNN246	Síntesis de MoS ₂ sobre SiO ₂ por sistema de deposición química de vapor.	<u>C. Álvarez</u> , C. Saez, A. Cortes, C. Celedón y R. Zarate
CNN247	Biom mineralización patológica (Urolitiasis) de oxalato de calcio mediada por nano-tubos de carbono multi pared (MWCNT) funcionalizados usando electrocristalización.	<u>A. Vargas</u> , P. Vásquez-Quitral, M. Yazdani-Pedram y A. Neira-Carrillo
CNN249	Desarrollo de nanoemulsiones cargadas con nifedipino como tintas para impresión de un fármaco de baja solubilidad acuosa.	<u>J.O. Morales</u> , Hans. F. Fritz, Andrea y C. Ortiz
CNN250	Desarrollo de un papel de óxido de grafeno para bioaplicaciones: análisis del grado de oxidación.	<u>R. Castro</u> , C. Angulo, G. Acosta, V. Fuenzalida, H. Palza y P. Palma
CNN252	Estudio de la eficiencia en celdas comerciales de silicio mediante ataque químico asistido por metal.	<u>M. Briceño</u> , M. Arias, R. Zárate,
CNN253	Estudio de interacciones de quitosano con ácidos orgánicos por RMN como modelo de SLC nanoestructurados.	<u>E. Zúñiga</u> , C. Pastén, B. Matsuhiro, J. Guerrero, J. Pavez y G. Severino
CNN254	Depósito de nanobarras de plata en cristales de compuesto de inclusión de β -Ciclodextrina con ácido benzoico.	<u>T. Bruna</u> y P. Jara
CNN255	Estudio de complejos metálicos paramagnéticos, basados en ligandos curcuminoides.	<u>D. Alarcón</u> , E.C. Sañudo, N. Aliaga-Alcalde y M. Soler
CNN256	Desarrollo de un sistema microparticulado a base de quitosano para la administración de risperidona.	<u>E. Castillo</u> , J. Villagra y C. von Plessing
CNN257	A novel algorithm for assembling small clusters using the Fukui function for the search of global minimum in medium size clusters.	<u>O. Yañez</u> , R. Pino-Riosa, D. Inostroza y W. Tiznadoa
CNN258	Estudio de fluorescencia polarizada de fluoróforos depositados sobre nanopartículas de plata.	<u>R. Cornejo</u> , V. Vargas, P. Jara y M. Ramírez-Maureira
CNN259	Influencia de las propiedades mecánicas medidas por micro y nanoindentación sobre superficies de SiO ₂ amorfo.	<u>D. Zambrano</u> , J.C. Sánchez, J.D. Berrio, J.M. Macias y J.M. Meza
CNN260	Estudio de la conductancia molecular de sistemas curcuminoides.	<u>A. Etcheverry</u> , C. Gutiérrez, D. Dulić, N. Aliaga-Alcalde y M. Soler



IV Congreso Nacional de Nanotecnología 2016

5-6-7 SEPTIEMBRE OLMUÉ · Rosa Agustina Conference Resort

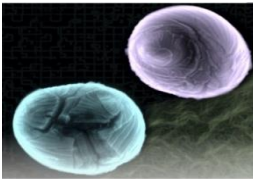
CNN261	Nanoemulsiones o/w utilizando Saponina de Quinoa como emulsionante natural	<u>D. Maturana</u> y M. Rubilar
CNN262	Estudios preliminares para la síntesis de nanoesponjas con capacidad de asociación de compuestos bioactivos lipofílicos.	<u>J.P. Guineo</u> , F. Hidalgo, E. Morales y M. Rubilar
CNN263	Synthesis and characterization of copper- silicon oxide multilayer of nanocomposites for plasmonic photovoltaic applications.	<u>F. Mondaca</u> , M. Arias y R. Zarate
CNN264	Nanoemulsiones de aceite de linaza enriquecidas en astaxantina como base para el desarrollo de una bebida saludable	<u>A. Iglesias</u> , E. Morales y M. Rubilar
CNN265	Estudio de la adsorción de polianiones sobre la superficie de nanopartículas magnéticas y evaluación de su efecto sobre la liberación de calor.	<u>M. Inostroza Riquelme</u> , G. Álvarez-Acevedo, Y. Luengo, M. del Puerto Morales, B. Chornik, M. Flores, M.J. Kogan y F. Oyarzún-Ampuero
CNN266	¿Pueden los recubrimientos en base a grafeno ayudar a controlar la hipersensibilidad al níquel? Estudio de la interacción entre superficies metálicas de níquel y sudor humano artificial.	<u>F. Montero</u> , R. Henríquez, T. Cunha, C. Ramírez, M. Seeger, P. Häberle y C. Parra
CNN267	Estudio del comportamiento de derivados de curcuminoides en mezclas con cristales líquidos.	<u>J. Iribarra</u> , C. Lima, A. Etcheverry, M. Morel, R. Barboza, G. González, M.G. Clerc y M. Soler
CNN269	Comparación de la estabilidad de curcumina frente al radical hidroxilo cuando está incluida en nanoemulsiones y en nanocápsulas.	<u>J. Morales</u> , F. Oyarzún-Ampuero y M. Silva
CNN270	Surfaces instabilities form spontaneous hierarchy wrinkled patterns.	<u>C. González</u> , P.J. Alfaro-Cerda, D. Sagredo-Oyarce, M.A. Sarabia-Vallejos and J. Rodríguez-Hernandez
CNN271	Electrosíntesis de nanovarillas de ZnO transportadoras de electrones en celdas solares con perovskitas orgánico-inorgánicas como material absorbente.	<u>H. Gómez</u> , F. Cataño y R. Schrebler
CNN272	Propiedades de barrera de policaprolactama mezclado en estado fundido con nanopartículas a base de carbono.	<u>B. Constant</u> , R. Quijada y R. Méndez y C. Garzón.
CNN273	Nanocompositos laminares ZnO/ácidos carboxílicos: síntesis, caracterización y estudio de sus propiedades fotocatalíticas.	<u>L. Díaz</u> , S. Devis, E. Valencia, H. Lozano, E. Benavente y G. González
CNN274	Síntesis y caracterización de Co ₂ SnO ₄ nanoestructurado por método de co-precipitación.	<u>C. Venegas</u> , S. Bollo, D. Ruíz y T. Brito
CNN275	Temperature dependent magnetic properties of Ni nanotubes synthesized by atomic layer deposition.	<u>J. Escrig</u> , A. Pereira, J.L. Palma y J.C. Denardin



IV Congreso Nacional de Nanotecnología 2016

5-6-7 SEPTIEMBRE OLMUÉ - Rosa Agustina Conference Resort

CNN276	Caracterización electroquímica de nanopartículas de oro, efecto del agente estabilizante y aplicación electrocatalítica.	<u>P. Sierra</u> , C. Sepúlveda, R. Torres, M. Kogan y J.A. Squella
CNN277	Síntesis y propiedades de nanopartículas magnéticas de Fe, Co y Ni coloides y soportadas en quitosano.	<u>G. Cárdenas</u> , C. Ruiz, L. Vergara y J. Ojeda
CNN278	TEM y CMI de nanopartículas de Au, Ag, Cu y Ag-Pd soportados en ácido hialurónico.	<u>G. Cárdenas</u> , M. Ruiz y L. Vergara y G. Solórzano
CNN279	Nanopartículas de cobre con estado de oxidación cero: síntesis y recubrimiento.	<u>V. Alcayaga</u> , M. Hengst y S. Fuentes
CNN280	Obtención del sistema nanopartícula de oro-melatonina y su evaluación en la interacción y viabilidad celular.	<u>R. Torres</u> , E. Salas-Huenuleo y M.J. Kogan
CNN281	Síntesis en un paso de nanopartículas de oro con quitosanos de distintos pesos moleculares.	<u>R. Torres</u> , F. Cornejo, P. Sierra-Rosales y M. J. Kogan
CNN282	Desarrollo de micromotores basados en grafeno.	<u>D. Baez</u> y S. Bollo
CNN283	Cuantificación de la hipertermia magnética de nanoesferas de magnetita de distinto tamaño en medio acuoso.	<u>G. Álvarez</u> , B. Chornik, Y. Luengo, M. Puerto Morales, M. Flores y F. Oyarzún-Ampuero
CNN284	Estudio de la estabilidad de nanoemulsiones cargadas con curcumina, nanopartículas de oro y microgeles de alginato (con y sin las nanopartículas) en distintos medios de cultivo celular.	<u>F. Oyarzún</u> , P. Lara, V. Miranda, M. Kogan y A. Vivanco
CNN285	Texture modulation of micro-wrinkled patterns through modification of hydrogel chemical composition.	<u>P. Alfaro</u> , D. Sagredo-Oyarce, C.M. González-Henríquez, M.A. Sarabia-Vallejos and J. Rodríguez-Hernández
CNN286	Uso de nanopartículas como método de transfección.	<u>G. Sánchez</u> , C. Robles, C. Acuña-Castillo y J.P. García-Huidobro
CNN287	Uso de nanopartículas de quitosano para expresión de proteínas de fusión viral en células tumorales, como mecanismo para inducir una respuesta antitumoral.	<u>C. Robles</u> , G. Sánchez, C. Acuña y J.P. García-Huidobro
CNN288	FTIR and Raman characterization of TiO ₂ nanoparticles coated with polyethylene glycol as carrier for 2-methoxyestradiol.	<u>A. León</u> , P. Reuquen, C. Garín, R. Segura, P. Vargas, P. Habèrle, P.A. Zapata, and P.A. Orihuela
CNN289	Síntesis, caracterización y encapsulación polimérica de nanopartículas de ZnS con propiedades luminiscentes.	<u>S. Fuentes</u> y W. Saavedra Jofré
CNN290	Producción de nanopartículas de oro y plata sintetizadas utilizando moléculas de origen vegetal.	<u>Y. Jaña</u> , A. Castillo, L. Cotet, F. Astorga



IV Congreso Nacional de Nanotecnología 2016

5-6-7 SEPTIEMBRE OLMUÉ · Rosa Agustina Conference Resort

Auspiciadores

ACCDIS



Cientec



CONICYT



Dertec



Didactica Alquímica



GrupoBios / BIOS Chile



HES



Melvyn Becerra



Merck / Merck Millipore



SAX

